

前回の講義で GL-AP 方程式 (756), (759) を導き、規格化された分岐関数 $P_{g/g}(z)$ (765), $P_{g/g}(z) = \hat{P}_{g/g}(z) = \hat{P}_{g/g}(z)$ (754)

[注] (754) 式の左辺は $\hat{P}_{g/g}(z, \epsilon_g^{\pm})$ の誤りで、 $z = \frac{E_b}{E_a}$ は全中の η のエネルギー比です。従って gluon 備極が大きいのは $z \sim 1$ ですから soft ($1-z \sim 0$) の場合です。p. 269 の (754) 式とその下の文を修正しておいてください。

この修正をすれば、 $e + e^- \rightarrow q\bar{q}(q \rightarrow g\bar{g})$ で 'soft' な $q\bar{q}$ が散乱し直角に生成せんとする Abelian-gluon-model の予言 (p. 258 の下の図の X_{BZ} 分布の点線) が定性的に理解できます。]

$P_{g/g}(z) = \hat{P}_{g/g}(z)$ (745), $P_{g/g}(z)$ (766) - (770) を求めました。

か、(766) 式は規格化が 2 倍間違っていた。分岐関数 $\hat{P}_{g/g}(z)$ (738) が正しいのに、規格化された分岐関数 $P_{g/g}(z)$ (766) が 2 倍間違っている。たまに理由は、GL-AP 方程式 (756) における $P_{g/g}(z)$ の定義にあります。 $g \rightarrow gg$ 分岐による寄与を g を書くと、

$$(771) \approx (756)'' \quad \underbrace{\Delta g(x, Q^2)}_{\text{from } g \rightarrow gg} = (\Delta \ln Q^2) \frac{ds}{2\pi} \int_x^1 \frac{dz}{z} P_{g/g}(z) g\left(\frac{x}{z}, Q^2\right)$$

$$= (\Delta \ln Q^2) \frac{ds}{2\pi} \int_0^1 \frac{dz}{z} \hat{P}_{g/g}(z) \left\{ g\left(\frac{x}{z}, Q^2\right) + g\left(\frac{x}{1-z}, Q^2\right) \right\}$$

となります。つまり、今後の分岐ではエネルギー比ヨウケルオンの効果と、
1-z の二つの効果の和が GL-AP 方程式の一箇の分岐関数 $\hat{P}_{g/g}(z)$
で表現されているのです。一方

$$(772) \quad \hat{P}_{g/g}(1-z) = \hat{P}_{g/g}(z) = C_A \left[\frac{1-z}{z} + \frac{z}{1-z} + z(1-z) \right]$$

です。 (771) の第一行は

$$\begin{aligned} (773) \quad & \int_0^1 \frac{dz}{z} \hat{P}_{g/g}(z) \left[g\left(\frac{x}{z}, Q^2\right) + g\left(\frac{x}{1-z}, Q^2\right) \right] + \dots \\ &= \int_0^1 \frac{dz}{z} \left[\hat{P}_{g/g}(z) g\left(\frac{x}{z}, Q^2\right) + \hat{P}_{g/g}(1-z) g\left(\frac{x}{1-z}, Q^2\right) \right] + \dots \\ &= \int_0^1 \frac{dz}{z} 2 \hat{P}_{g/g}(z) g\left(\frac{x}{z}, Q^2\right) + \dots \\ &= \int_x^1 \frac{dz}{z} 2 \hat{P}_{g/g}(z) g\left(\frac{x}{z}, Q^2\right) + \dots \end{aligned}$$

ここで 2 倍の因子が表れました。+... は $z=1$ の規格化項ですか。
この計算は (766) ~ (770) で正しければ分かります。これは、
上の (773) 式でオーノミー "4" (つまり半分たけか) $z \rightarrow 1$ の発散
を持つかどうです。 (770) が正しかったために、規格化の説りを見つ
けるのに手間取ってしまいました。

ここで GL-AP 方程式の規格化された分岐関数を整理しておきましょう。

まず 'bare' の分岐関数は

$$(774) \quad \left\{ \begin{array}{l} \hat{P}_{q/q}(z) = C_F \frac{1+z^2}{1-z} \\ \hat{P}_{g/q}(z) = C_F \frac{1+(1-z)^2}{z} = \hat{P}_{q/g}(1-z) \\ \hat{P}_{q/g}(z) = T_F (z^2 + (1-z)^2) = \hat{P}_{\bar{q}/g}(z) = \hat{P}_{g/g}(1-z) \\ \hat{P}_{g/g}(z) = C_A \left[\frac{z}{1-z} + \frac{1-z}{z} + z(1-z) \right] = \hat{P}_{g/g}(1-z) \end{array} \right.$$

GL-AP 方程式に表わされる規格化された分岐関数は

$$(775) \quad \left\{ \begin{array}{l} P_{q/q}(z) = C_F \left[\frac{1+z^2}{(1-z)_+} + \frac{3}{2} \delta(1-z) \right] \\ P_{g/q}(z) = C_F \frac{1+(1-z)^2}{z} = \hat{P}_{g/q}(z) = \hat{P}_{q/q}(1-z) \\ P_{q/g}(z) = T_F [z^2 + (1-z)^2] = \hat{P}_{q/g}(z) = \hat{P}_{g/g}(1-z) \\ P_{g/g}(z) = 2C_A \left[\frac{z}{(1-z)_+} + \frac{1-z}{z} + z(1-z) \right] + 2b_0 \delta(1-z) \\ b_0 = \frac{11C_A - 4n_f T_F}{12} \end{array} \right.$$

規格化された分岐関数が次の和則(保存則)を満たすことを確認していく。

$$(776) \quad \left\{ \begin{array}{l} \int_0^1 dz P_{q/q}(z) = 0 \quad \cdots \text{電荷数保存} \\ (776)' \quad \left\{ \begin{array}{l} \int_0^1 dz \cdot z [P_{q/q}(z) + P_{g/q}(z)] = 0 \quad \cdots \text{電荷数保存} \\ (776)'' \quad \left\{ \begin{array}{l} \int_0^1 dz \cdot z [P_{g/g}(z) + 2n_f P_{q/g}(z)] = 0 \quad \cdots \text{電荷数保存} \end{array} \right. \end{array} \right. \\ (776) \text{ は QED の電荷数保存 (711), (712), (714) と同じです。} \quad (776)' \text{ と (776)'' は} \end{array} \right.$$

collinear

エネルギー保存を表します。や, つまります。

$$\begin{aligned}
 (777) \int_0^1 dz \cdot z P_{g/g}(z) &= C_F \int_0^1 dz \left[\frac{z+z^3}{(1-z)_+} + \frac{3}{2} z S(1-z) \right] \\
 &= C_F \left\{ \int_0^1 dz \frac{(z-1)+(z^3-1)}{1-z} + \frac{3}{2} \right\} \\
 &= C_F \left\{ - \int_0^1 dz (1+z+z^2) + \frac{3}{2} \right\} \\
 &= C_F \left\{ - \left(2 + \frac{1}{2} + \frac{1}{3} \right) + \frac{3}{2} \right\} = -\frac{4}{3} C_F
 \end{aligned}$$

$$\begin{aligned}
 (777)' \int_0^1 dz \cdot z P_{g/g}(z) &= C_F \int_0^1 dz [1 + (1-z)^2] \\
 &= C_F \int_0^1 dz (1+z^2) = C_F \left(1 + \frac{1}{3} \right) = \frac{4}{3} C_F
 \end{aligned}$$

$$\begin{aligned}
 (777)'' \int_0^1 dz \cdot z P_{g/g}(z) &= 2 C_A \int_0^1 dz \left[\frac{z^2-1}{1-z} + 1-z + z^2(1-z) \right] + 2 b_0 \\
 &= 2 C_A \int_0^1 dz [1-z + 1-z + z^2 - z^3] + 2 b_0 \\
 &= 2 C_A \left(-1 + \frac{1}{3} - \frac{1}{4} \right) + \frac{11}{6} C_A - \frac{2}{3} n_f T_F \\
 &= 2 C_A \left(-\frac{11}{12} \right) + \frac{11}{6} C_A - \frac{2}{3} n_f T_F \\
 &= -\frac{2}{3} n_f T_F
 \end{aligned}$$

$$\begin{aligned}
 (777)''' \int_0^1 dz \cdot z P_{g/g}(z) &= T_F \int_0^1 dz [z^3 + z(1-z)^2] \\
 &= T_F \int_0^1 dz [z - 2z^2 + 2z^3] \\
 &= T_F \left(\frac{1}{2} - \frac{2}{3} + \frac{2}{4} \right) \\
 &= \frac{1}{3} T_F
 \end{aligned}$$

エネルギー保存則 (776)' と (776)'' の導出でした。

∴ て GL-AP 方程式か。分布関数のモーメントに対しては単純な因子化(行列)にけることを示すよ。 (761) と (762) をもう一度:

$$(778) = (761) \quad \frac{d}{d \ln Q^2} g_V(x, Q^2) = \frac{ds}{2\pi} \int_x^1 \frac{dz}{z} P_{g/a}(z) g_V\left(\frac{x}{z}, Q^2\right)$$

$$(779) = (762) \quad \frac{d}{d \ln Q^2} \begin{pmatrix} g_S(x, Q^2) \\ g(x, Q^2) \end{pmatrix} = \frac{ds}{2\pi} \int_x^1 \frac{dz}{z} \begin{pmatrix} P_{g/a}(z) & \underbrace{P_{g/g}(z)}_{2n_f} \\ P_{g/g}(z) & P_{g/g}(z) \end{pmatrix} \begin{pmatrix} g_S\left(\frac{x}{z}, Q^2\right) \\ g\left(\frac{x}{z}, Q^2\right) \end{pmatrix}$$

← (762) を適応してます。

で、今、 n 次のモーメント

$$(780) \quad \begin{cases} g_V^n(Q^2) = \int_0^1 dx x^{n-1} g_V(x, Q^2) \\ g_S^n(Q^2) = \int_0^1 dx x^{n-1} g_S(x, Q^2) \\ g^n(Q^2) = \int_0^1 dx x^{n-1} g(x, Q^2) \end{cases}$$

$$(780') \quad P_{b/a}^n = \int_0^1 dz z^{n-1} P_{b/a}(z)$$

を定義し、たとえ△ x 積分の性質

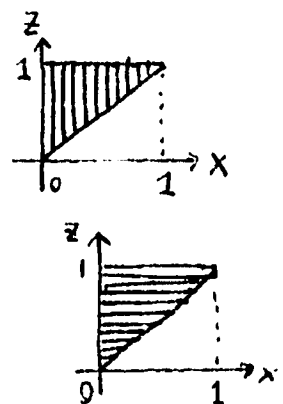
$$(781) \quad \int_0^1 dx x^{n-1} \int_x^1 \frac{dz}{z} P(z) D\left(\frac{x}{z}\right)$$

$$= \int_0^1 dx \int_x^1 dz \cdot \frac{1}{z} \left\{ P(z) \cdot x^{n-1} D\left(\frac{x}{z}\right) \right\}$$

$$= \int_0^1 dz \int_0^{\frac{z}{x}} dx \cdot \frac{1}{z} \left\{ z^{n-1} P(z) \cdot \left(\frac{x}{z}\right)^{n-1} D\left(\frac{x}{z}\right) \right\}$$

$$= \int_0^1 dz \int_0^1 d\left(\frac{x}{z}\right) \left\{ z^{n-1} P(z) \cdot \left(\frac{x}{z}\right)^{n-1} D\left(\frac{x}{z}\right) \right\}$$

$$= \left\{ \int_0^1 dz z^{n-1} P(z) \right\} \cdot \left\{ \int_0^1 dx' x'^{n-1} D(x') \right\} \equiv P^n \cdot D^n$$



を用いるよ。 (778), (779) は同じ意味。

$$(782) \quad \frac{d}{d \ln Q^2} \frac{g_V^n(Q^2)}{g_V^n(Q_0^2)} = \frac{\alpha_s}{2\pi} P_{g/g}^n \cdot \frac{I_V^n(Q^2)}{I_V^n(Q_0^2)}$$

$$(783) \quad \frac{d}{d \ln Q^2} \begin{pmatrix} I_S^n(Q^2) \\ g^n(Q^2) \end{pmatrix} = \frac{\alpha_s}{2\pi} \begin{pmatrix} P_{g/g}^n & P_{g/g}^n \\ P_{g/g}^n & P_{g/g}^n \end{pmatrix} \begin{pmatrix} I_S^n(Q^2) \\ g^n(Q^2) \end{pmatrix}$$

この3つは解本的には解くべき式で、以下を1つ (782) に

$$(784) \quad \frac{d I_V^n(Q^2)}{g_V^n(Q^2)} = \frac{\alpha_s(Q^2)}{2\pi} P_{g/g}^n d \ln Q^2$$

$$(784)' \quad \int_{Q_0^2}^{Q^2} d \ln g_V^n(Q'^2) = \int_{Q_0^2}^{Q^2} d \ln Q'^2 \frac{\alpha_s(Q^2)}{2\pi} P_{g/g}^n$$

\therefore 2つ、 $\alpha_s(Q^2)/\pi \approx \overline{MS}$ を使うよ、 β 関数が Q^2 に顯るによろなうで。

$$(785) \quad \frac{d}{d \ln Q^2} \frac{\alpha_s(Q^2) \overline{MS}}{\pi} = \beta_{\overline{MS}} = - \left\{ b_0 \left(\frac{d_s}{\pi} \right)^2 + b_1 \left(\frac{d_s}{\pi} \right)^3 + \dots \right\} \quad p. 244 \\ (203)$$

$$(785)' \quad d \ln Q^2 = \frac{d \frac{\alpha_s(Q^2) \overline{MS}}{\pi}}{\beta_{\overline{MS}}} = - \frac{da}{b_0 a^2 + b_1 a^3 + \dots} \quad ; \quad a = \frac{\alpha_s(Q^2) \overline{MS}}{\pi}$$

\therefore ここで (784)' は代入すると

$$(786) \quad \ln \frac{I_V^n(Q^2)}{I_V^n(Q_0^2)} = \int_{a(Q_0^2)}^{a(Q^2)} \frac{da}{-b_0 a^2 - b_1 a^3 + \dots} \frac{\alpha}{2} \left[P_{g/g}^{n(0)} + \frac{a}{2} P_{g/g}^{n(1)} + \dots \right] \\ = -\frac{1}{2b_0} \int_{a(Q_0^2)}^{a(Q^2)} \frac{da}{a} \left[P_{g/g}^{n(0)} + a \left(\frac{1}{2} P_{g/g}^{n(1)} - \frac{b_1}{b_0} P_{g/g}^{n(0)} \right) + \dots \right] \\ = -\frac{1}{2b_0} \left\{ \ln \frac{a(Q^2)}{a(Q_0^2)} P_{g/g}^{n(0)} + \left(\frac{a(Q^2) - a(Q_0^2)}{2b_0} \right) [a(Q^2) - a(Q_0^2)] + \dots \right\}$$

$$(787) \quad g_V^n(Q^2) = g_V^n(Q_0^2) \exp \left\{ -\frac{1}{2b_0} P_{g/2}^{n(0)} \ln \frac{a(Q^2)}{a(Q_0^2)} + \dots \right\}$$

$$= g_V^n(Q_0^2) \left(\frac{a(Q^2)}{a(Q_0^2)} \right)^{-\frac{1}{2b_0} P_{g/2}^{n(0)}} + \dots$$

となります。 \dots は高次項で、 b_1/b_0 , $P_{g/2}^{n(0)}$ 等で簡単に表現されます。

ここで、 $P_{g/2}^{n(0)} \neq 0$ も Q^2 依存性が表される（スケール則が破れる）ので、

$P_{g/2}^{n(0)}$ 等のことを異常次元（ n 次元スケール則を破る量子効果）と呼びます。

計算 124 まじき。

$$(788) \quad P_{g/2}^{n(0)} = \int_0^1 dz z^{n-1} P_{g/2}^{(0)}(z)$$

$$= \int_0^1 dz z^{n-1} C_F \left[\frac{1+z^2}{(1-z)_+} + \frac{3}{2} \delta(1-z) \right]$$

$$= C_F \left\{ \int_0^1 dz \frac{z^{n-1} + z^{n+1}}{(1-z)_+} + \frac{3}{2} \right\}$$

$$= C_F \left\{ - \int_0^1 dz \left[\frac{1-z^{n-1}}{1-z} + \frac{1-z^{n+1}}{1-z} \right] + \frac{3}{2} \right\}$$

$$= C_F \left\{ - \left[\sum_{k=0}^{n-2} \int_0^1 dz z^k + \int_0^1 dz \sum_{k=0}^n z^k \right] + \frac{3}{2} \right\}$$

$$= C_F \left\{ - \sum_{k=0}^{n-2} \frac{1}{k+1} - \sum_{k=0}^n \frac{1}{k+1} + \frac{3}{2} \right\}$$

$$= C_F \left\{ - \sum_{k=1}^{n-1} \frac{1}{k} - \sum_{k=1}^n \frac{1}{k} + \frac{3}{2} \right\}$$

$$= C_F \left\{ \frac{1}{n} - \frac{1}{n+1} - 2 \sum_{k=1}^n \frac{1}{k} + \frac{3}{2} \right\}$$

$$= C_F \left[\frac{3}{2} + \frac{1}{n(n+1)} - 2 \sum_{k=1}^n \frac{1}{k} \right]$$

$$(789) \quad \left\{ \begin{array}{l} P_{g/2}^{1(0)} = C_F \left[\frac{3}{2} + \frac{1}{2} - 2 \cdot 1 \right] = 0 \\ P_{g/2}^{2(0)} = C_F \left[\frac{3}{2} + \frac{1}{2 \cdot 3} - 2 \left(1 + \frac{1}{2} \right) \right] = -\frac{4}{3} C_F \end{array} \right.$$

$\therefore P_{g/A}^{(0)} = 0$ は ウォーク数の保存 (776) ですぐに 実際、(787) で

$$(790) \quad g_V^1(Q^2) = g_V^1(Q_0^2) \quad : \quad \int_0^1 dx \, g_V(x, Q^2) = \int_0^1 dx \, g_V(x, Q_0^2)$$

(787)-(反787) の全エネルギーは保存しません。 (787) で $n=2$ とすと

$$\begin{aligned} (791) \quad g_V^2(Q^2) &= g_V^2(Q_0^2) \left(\frac{\alpha(Q^2)}{\alpha(Q_0^2)} \right)^{-\frac{1}{2b_0}} P_{g/A}^{(2)} + \dots \\ &= g_V^2(Q_0^2) \left(\frac{1}{b_0 \ln(Q^2/\Lambda^2)} / \frac{1}{b_0 \ln(Q_0^2/\Lambda^2)} \right)^{-\frac{1}{2b_0}} (-\frac{4}{3} c_F) + \dots \\ &= g_V^2(Q_0^2) \left(\frac{\ln(Q_0^2/\Lambda^2)}{\ln(Q^2/\Lambda^2)} \right)^{\frac{2}{3b_0} c_F} + \dots \end{aligned}$$

\therefore running coupling の leading の表式 ((705) の第2項) を使いました。

$$b_0 = \frac{33 - 2n_f}{12} = \frac{23}{12} \quad (n_f = 5) \quad \text{と} \quad c_F = \frac{4}{3} \quad \text{を代入すると}$$

$$(792) \quad \int_0^1 dx \, x \, g_V(x, Q^2) = \int_0^1 dx \, x \, g_V(x, Q_0^2) \cdot \left(\frac{\ln(Q_0^2/\Lambda^2)}{\ln(Q^2/\Lambda^2)} \right)^{\frac{34}{69}}$$

となり、つまりは $u_V(x, Q^2) = u(x, Q^2) - \bar{u}(x, Q^2)$ の全エネルギーは Q^2 と共に減少し、 $Q^2 \rightarrow \infty$ ではゼロになります分かります。又、

$$\begin{aligned} (793) \quad \frac{\ln(Q_0^2/\Lambda^2)}{\ln(Q^2/\Lambda^2)} &= \frac{\ln(Q_0^2/\Lambda^2)}{\ln(Q_0^2/\Lambda^2) + \ln(Q^2/Q_0^2)} \\ &= \left(1 + \frac{\ln(Q^2/Q_0^2)}{\ln(Q_0^2/\Lambda^2)} \right)^{-1} \\ &= \left(1 + b_0 \frac{\alpha_s}{\pi}(Q_0^2) \ln \frac{Q^2}{Q_0^2} \right)^{-1} \\ &= 1 + \sum_{k=1}^{\infty} \left(-b_0 \frac{\alpha_s(Q_0^2)}{\pi} \ln \frac{Q^2}{Q_0^2} \right)^k \end{aligned}$$

か3. GL-AP 方程式の解が $\left(\frac{\alpha_s(\mu)}{\pi} \ln \frac{Q^2}{\mu^2}\right)^k$ の項全ての足し上げによることで
これが再確認できます。又、ここで $P_{g/\varphi}^{n(0)}$ が「ツイスト2, スピンn
の $\bar{q} \cdots q$ オペレータの異常次元」に相当することを直感的に見てみましょう。
GL-AP 方程式は $q \rightarrow q$ が分歧の効果を足し上げたもの

$$(794) \quad \left| \overbrace{\hspace{1cm}} + \overbrace{\hspace{1cm}} + \overbrace{\hspace{1cm}} + \cdots \right|^2$$

ですか。これを $\gamma^* q \rightarrow \gamma^* q$ の前方散乱振幅の虚数部 ($i = \sqrt{-1}$)
と考えて、前方散乱に寄与するオペレータ

$$(795) \quad J_{EM}^\mu(x) J_{EM}^\nu(0) = \bar{u}(0) \gamma^\mu u(x) \bar{u}(0) \gamma^\nu u(0) = \sum_{k=0}^{\infty} C^k(x, 0)^\mu \bar{u}(0)^\nu$$

の $x \rightarrow 0$ (短距離) 极限を考えます。運動量空間の運動方程式は

$$(796) \quad \begin{array}{c} \text{入射} \\ \text{出射} \end{array} \sim \bar{u}(p) \gamma^\mu \frac{q+p}{(q+p)^2} \gamma^\nu u(p) \\ \sim \bar{u}(p) \gamma^\mu \frac{q}{Q^2 - 2q \cdot p} \gamma^\nu u(p) \\ \sim \bar{u}(p) \gamma^\mu \frac{q}{Q^2} \sum_{k=0}^{\infty} \left(\frac{2q \cdot p}{Q^2}\right)^k \gamma^\nu u(p)$$

ですが、全ての $k (= 0, \dots, \infty)$ の項が「パートン模型の極限で寄与します。

$k=n-1$ の項に寄与するオペレータは、 P^n が $n-1$ 個あるのに微分を $n-1$ 回です。
且つ γ^μ が最低一つ必要 (それでないとカクシテー保存が破れて m_q が變る)
なので $\bar{u}(0) \gamma^\mu \gamma^{\mu_2} \cdots \gamma^{\mu_n} u(0)$ の様なスピンn, 次元 $(n-1)+3=n+2$

2005. 9. 30

のオペレータです。パートン模型の極限と対応するオペレータは全てツイスト

$$(797) \quad t = (\text{次元}) - (\text{スピン}) = 2$$

を持つて、ツイスト2オペレータと呼びます。ツイスト3オペレータと (m/Q) 、

一般に $(m/Q)^{t-2}$ で高ツイストオペレータの寄与は小さくなります。

ツイスト2、スピントルのオペレータ $O^{(n)}(0)$ の異常次元【オペレータのくり込み定数

の対数のスケール依存性 : $\delta^n = \frac{d}{d \ln \mu} \ln Z^{(n)} ; O_B^{(n)(0)} = Z^{(n)} O_K^{(0)}$] を計算すると、

$$(798) \quad \delta^n = P_{q/\bar{q}}^{(n)(0)} = \int_0^1 dZ Z^{n-1} P_{q/\bar{q}}^{(0)}(Z)$$

が得られます。 δ^n の計算はオペレータの規格化定数区のUV発散から得られますか、

(799)



$$\Theta = O^{(n)}(0) = \bar{\psi}(0) \gamma^{\mu_1} \gamma^{\mu_2} \dots \gamma^{\mu_n} \psi(0) - \text{trace}$$

の計算になります。QCDにおけるハドロンの構造関数のスケール依存性は、この様に「 t 、パートンモデルに依る」に導かれました。

DISでは、オペレータ展開 (795) の右辺) による短距離部分 (係數関数 C^k) と長距離部分 ($\langle p | O^{(k)(0)} | p \rangle$) の分離が、慣習QCDの因子化 (697) に対応していました。オペレータのくり込み点依存性を表す「くり込み群方程式」、パートン分布の因子化スケール依存性を表す GLAP

方程式に対応していたわけです。オペレータ展開は DIS 構造関数にいか後にたなり歴史的遺産ですか” [場の理論の基礎とては、理論の短距離極限の振舞いを調べるツールとして重要です]、摂動 QCD の振幅・断面積の因子化 (697) は、はるかに広い適用範囲を持ち、GLAP 方程式 [一般形は (698)] はその全ての適用において最重要な役割を果たします。従って、GLAP 方程式の導出過程 (p. 246 ~ p. 267) とその基本的性質 (p. 267 ~) を理解することか”、摂動 QCD の高エネルギー・コライダー実験への適用法をマスターすることの鍵であることを認識してください。

念のため、全ての異常次元をリストにあります (783)。簡単な計算です (783) *check*
12<たま。

$$(800a) \left\{ P_{g/g}(n) = C_F \left[-\frac{1}{2} + \frac{1}{n(n+1)} - 2 \sum_{k=2}^n \frac{1}{k} \right]$$

$$(800b) \left\{ P_{g/g}(n) = C_F \left[\frac{2+n+n^2}{n(n+1)(n-1)} \right]$$

$$(800c) \left\{ P_{g/g}(n) = T_F \left[\frac{2+n+n^2}{n(n+1)(n+2)} \right]$$

$$(800d) \left\{ P_{g/g}(n) = 2C_A \left[-\frac{1}{12} + \frac{1}{n(n-1)} + \frac{1}{(n+1)(n+2)} - \sum_{k=2}^n \frac{1}{k} \right] - \frac{2}{3}n + T_F$$

(788) と (800a) の見かけが異なるのは、下の和を $k=2$ から n に変更したためです。

又、モーメントの次数 (オペレータのスピニン) m を () の中に入れて巾兼と記別しました。

$n=1, 2, \infty$ のモーメントは覚えておくと良いです。

$$(801) \quad P_{g/g}(1) = 0 \quad P_{g/g}(2) = C_F \cdot (-\frac{4}{3}) \quad P_{g/g}(n) \xrightarrow{n \rightarrow \infty} C_F (-2 \ln n)$$

$$P_{g/g}(1) = C_F \cdot \frac{2}{n-1} \quad P_{g/g}(2) = C_F \cdot (\frac{4}{3}) \quad P_{g/g}(n) \rightarrow 0$$

$$P_{g/g}(1) = T_F \cdot \frac{2}{3} \quad P_{g/g}(2) = T_F \cdot \frac{1}{3} \quad P_{g/g}(n) \rightarrow 0$$

$$P_{g/g}(1) = C_A \cdot \frac{2}{n-1} \quad P_{g/g}(2) = T_F \cdot (-\frac{2}{3} n_f) \quad P_{g/g}(n) \rightarrow C_A (-2 \ln n)$$

$n=1$ の pole は g の multiplicity 分発散することを表しています。高次効果を入力した $P_{gg}(n)$ の $n \rightarrow 1$ の振る舞いは、 I -jet $\mapsto g$ -jet の 'multiplicity' (適当に定義された 'jet' の数、ハドロンの数) のエネルギー依存性を定めます。この multiplicity のスケール依存性がどの程度「正しい」再現されると、「いいか」、シーケンス MC フォワードで例えは「 $\Sigma \mapsto$ Tevatron のスケールで tune したとき」に、その LHC の extrapolation が「うまくいくか」という鍵になります。ジェットの数 $\langle n_J \rangle$ や 数分布 ($n_J - \langle n_J \rangle$ の分散など) のスケール依存性は、ジェットの定義が適当なものであれば、QCD の予言に従うはずです。LHC の外挿を考えるとき、これらが指標となる決定的に重要な点、ということを肝に銘じておいて下さい。

$n=2$ の結果は、エネルギー不変!

$$(802) \quad \frac{d}{d \ln Q^2} \int_0^1 dx \times [I_S(x, Q^2) + g(x, Q^2)] = \frac{\alpha_s}{2\pi} \left\{ \underbrace{[P_{g/g}(2) + P_{g/g}(2)] I_S^{(2)}}_{=0} + \underbrace{[P_{g/g}(2) + P_{g/g}(2)] g^{(2)}}_{=0} \right\}$$

を導きます。又、 $g_s^{(2)}$ と $g^{(2)}$ は以下の GL-AP 方程式

$$(803) \quad \frac{d}{d \ln Q^2} \begin{pmatrix} g_s^{(2)}(Q^2) \\ g^{(2)}(Q^2) \end{pmatrix} = \frac{\alpha_s}{2\pi} \begin{pmatrix} P_{2/1}(2) & \overset{(2n_f)}{P_{2/g}(2)} \\ P_{g/1}(2) & P_{g/g}(2) \end{pmatrix} \begin{pmatrix} g_s^{(2)}(Q^2) \\ g^{(2)}(Q^2) \end{pmatrix}$$

$$= \frac{\alpha_s}{2\pi} \begin{pmatrix} -\frac{4}{3}C_F & \frac{2}{3}\overset{n_f}{T_F} \\ \frac{4}{3}C_F & -\frac{2}{3}n_f T_F \end{pmatrix} \begin{pmatrix} g_s^{(2)}(Q^2) \\ g^{(2)}(Q^2) \end{pmatrix}$$

となり、 2×2 の行列式は固有値 0 (固有関数 $g_s^{(2)} + g^{(2)}$; (802)) と。

$$(804) \quad \frac{d}{d \ln Q^2} \left[g_s^{(2)}(Q^2) - \frac{n_f T_F}{2 C_F} g^{(2)}(Q^2) \right] = \frac{\alpha_s}{2\pi} \left[-\frac{4}{3}C_F - \frac{2}{3}n_f T_F \right] \left[g_s^{(2)} - \frac{n_f T_F}{2 C_F} g^{(2)} \right]$$

と対角化されます。(804) は (787) 同様に簡単に解けて

$$(805) \quad g_s^{(2)}(Q^2) - \frac{n_f T_F}{2 C_F} g^{(2)}(Q^2) = \left[g_s^{(2)}(Q_0^2) - \frac{n_f T_F}{2 C_F} g^{(2)}(Q_0^2) \right] \overline{\left[\frac{\alpha(Q^2)}{\alpha(Q_0^2)} \right]^{\frac{1}{2}}} \cdot \overline{\left(\frac{4}{3}C_F + \frac{2}{3}n_f T_F \right)}$$

$$\xrightarrow[Q^2 \rightarrow \infty]{} 0$$

を得ます。(805) 式は $Q^2 \rightarrow \infty$ 標限では、クーロンのエネルギー比は初期状態によらずに定まり、それが 1 で不变であることを考慮すると

$$(806) \quad g_s^{(2)}(Q^2) : g^{(2)}(Q^2) \xrightarrow{Q^2 \rightarrow \infty} \frac{n_f T_F}{2 C_F + n_f T_F} : \frac{2 C_F}{2 C_F + n_f T_F}$$

$$= \frac{3 n_f}{16 + 3 n_f} : \frac{16}{16 + 3 n_f}$$

$$= \begin{cases} \frac{3}{7} & : \frac{4}{7} \quad (n_f = 4) \\ \frac{15}{31} & : \frac{16}{31} \quad (n_f = 5) \end{cases}$$

となることがわかります。クーロンのエネルギー比は約 50% 程度まで大きくなるやうです。

2005.9.30

(801) 式の $n \rightarrow \infty$ の振舞いは、 $P_{g/g}(n) \rightarrow -2 \ln n C_F$, $P_{g/g}(n) \rightarrow -2 \ln n C_A$

は、 $x \rightarrow 1$ 極限 (exclusive 極限) の振舞いは 大きな係数 $\ln n$ が
乗かれることを意味します。展開 パラメータが $\frac{ds}{\pi} \ln \frac{Q^2}{Q_0^2} \ln n \sim \frac{ds}{\pi} \ln \frac{Q^2}{Q_0^2} \ln \frac{1}{1-x}$
となることを意味しており、double-log 項の足し上げをしないと、
粗動展開が“こわれ”てしまうます。double-log 項は exponential は
足し上げることが 知られており (QED)、足し上げたものを Sudakov
形狀因子と呼びます。この Sudakov 因子を用いることにより、
GL-AP 方程式を MC 法によて数値的に解くことが可能
となり、高エネルギー過程の解析の必須のツール、シャワー-MC
が作られます。シャワー-MC による タジェット(パートン)生成断面積は、
GL-AP 方程式の導出から明らかなように、タジェット生成の QCD 振幅
の近似になります。このことに着目し、QCD 振幅の持つ (普遍的
な) コークレンスの効果を取り入れて分歧関数を改良したものか、現在
のシャワー-MC の基礎となりています。この改良は ジェットの数分布 ($n \rightarrow 1$) と
exclusive 極限 ($n \rightarrow \infty$) を共に改良します。過程に依存した高次補正
は、この改良された MC 断面積と、粗動 QCD の NLO 計算との
ずれを「数値的に」補正することによって得られます。

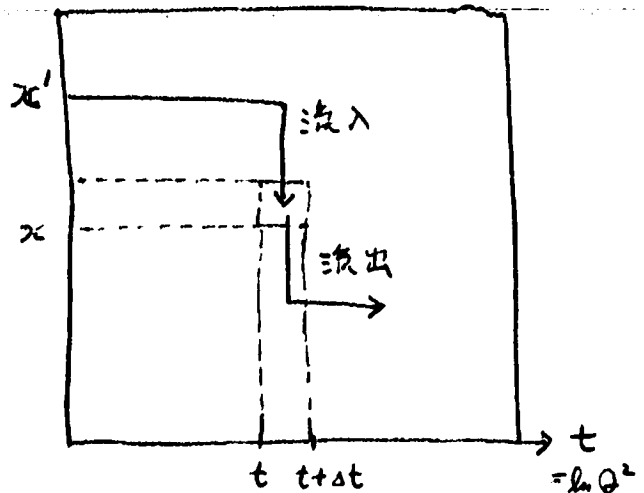
原理はこの様に簡単なのですが、実際に役に立つツールにまで行って行くには、多くの理論家の努力の積み重ねが必要であつようです。最近10年間の進展が、LHC準備の奮闘となること、その進展がどうして必要なのか、最も役に立ちそうなツールは何か、今後数年(1~2年)の発展の方向はどうか、といった問題について、やまと、全体像がつかめて来たところです。これらの課題について、私が理解できたところまでを、次回の講義で説明しようと思います。

今日は、GL-AP方程式のMC法による解と、分岐開枚の改良(angular ordering)までの解説します。

まず、GL-AP方程式を、bare & 分岐開枚だけ($\hat{P}_{a/b}(z)$)を使、
表すことに焦点を当てる。クォークとグルオンのそれそれにについて、
分岐による分布の変化は、 $X' \rightarrow X$ のクォーク、グルオン分布からの
流入分と、 $X \rightarrow X'$ への流出分との差であることに着目して、

(807) $\delta q(x, Q^2)^{in}$: 流入分

$$= \frac{dQ^2}{Q^2} \int_x^1 dx' \int_0^1 dz \frac{ds}{2\pi} [\hat{P}_{q/g}(z) q(x, Q^2) + \hat{P}_{g/q}(z) g(x, Q^2)] \times \delta(x - zx')$$



$$= \frac{dQ^2}{Q^2} \int_0^1 \frac{dz}{z} \frac{ds}{2\pi} [\hat{P}_{q/g}(z) q(\frac{x}{z}, Q^2) + \hat{P}_{g/q}(z) g(\frac{x}{z}, Q^2)]$$

流出分 : $q \rightarrow q$ 及 $q \rightarrow g$ の和で。.

$$(808) \delta q(x, Q^2)^{out} = \frac{dQ^2}{Q^2} q(x, Q^2) \int_0^x dx' \int_0^1 dz \frac{ds}{2\pi} [\hat{P}_{q/g}(z) + \hat{P}_{g/q}(z)] \delta(x' - zx)$$

$$= \frac{dQ^2}{Q^2} q(x, Q^2) \int_0^1 \frac{dz}{z} \frac{ds}{2\pi} [\hat{P}_{q/g}(z) + \hat{P}_{g/q}(z)]$$

 $q(x, Q^2)$ の変化は

$$(809) \delta q(x, Q^2) = \delta q(x, Q^2)^{in} - \delta q(x, Q^2)^{out}$$

$$= \frac{dQ^2}{Q^2} \int_x^1 \frac{dz}{z} \frac{ds}{2\pi} [\hat{P}_{q/g}(z) q(\frac{x}{z}, Q^2) + \hat{P}_{g/q}(z) g(\frac{x}{z}, Q^2)]$$

$$- \frac{dQ^2}{Q^2} q(x, Q^2) \int_0^1 \frac{dz}{z} \frac{ds}{2\pi} [\hat{P}_{q/g}(z) + \hat{P}_{g/q}(z)]$$

全く同様に $\bar{q}(x, Q^2)$ についての式と、

$$(810) \delta \bar{q}(x, Q^2) = \frac{dQ^2}{Q^2} \int_x^1 \frac{dz}{z} \frac{ds}{2\pi} [\hat{P}_{g/q}(z) (\bar{q}(\frac{x}{z}, Q^2) + \hat{P}_{g/q}(z) \bar{g}(\frac{x}{z}, Q^2))]$$

$$- \frac{dQ^2}{Q^2} \bar{q}(x, Q^2) \int_0^1 \frac{dz}{z} \frac{ds}{2\pi} [\hat{P}_{g/q}(z) + Xn_s \hat{P}_{g/q}(z)]$$

が得られる。したがって bare 分岐関数 $\hat{P}_{q/g}(z)$ の積分は $\epsilon < z < 1 - \epsilon$

281

2005. 9. 30

の様に正則化しておく。 $\epsilon \rightarrow 0$ の極限で、(809)-(810) が GL-AP 方程式に帰着すること、特に、規格化 (775) が得られることを確認しておこう。流入、流出による定式化は、クォーク数の保存、分歧によるエネルギーの保存を満たしているので、正則化によらず、 $\epsilon \rightarrow 0$ 極限で GL-AP 方程式を再現するのです。

次に Sudakov 因子、

$$(811a) \quad \Delta_q(Q^2) = \exp \left\{ - \int_{Q_0^2}^{Q^2} \frac{dQ'^2}{Q'^2} \int_{\epsilon}^{1-\epsilon} \frac{dz}{z} \left[\hat{P}_{q/q}(z) + \hat{P}_{g/q}(z) \right] \right\}$$

$$(811b) \quad \Delta_g(Q^2) = \exp \left\{ - \int_{Q_0^2}^{Q^2} \frac{dQ'^2}{Q'^2} \int_{\epsilon}^{1-\epsilon} \frac{dz}{z} \left[\hat{P}_{g/g}(z) + \eta_f \hat{P}_{q/g}(z) \right] \right\}$$

を定義すると、GL-AP 方程式 (809)-(810) が $\frac{ds(Q'^2)}{2\pi}$

$$(812a) \quad \frac{d}{d \ln Q^2} g(x, Q^2) = \int_x^1 \frac{dz}{z} \left[\hat{P}_{q/q}(z) q\left(\frac{x}{z}, Q^2\right) + \hat{P}_{g/q}(z) g\left(\frac{x}{z}, Q^2\right) \right] \frac{ds}{2\pi}$$

$$+ g(x, Q^2) \frac{d}{d \ln Q^2} \ln \Delta_q(Q^2)$$

$$(812b) \quad \frac{d}{d \ln Q^2} g(x, Q^2) = \int_x^1 \frac{dz}{z} \frac{ds}{2\pi} \left[\hat{P}_{g/g}(z) \left(\bar{q}\left(\frac{x}{z}, Q^2\right) + \bar{g}\left(\frac{x}{z}, Q^2\right) \right) \right.$$

$$\left. + \hat{P}_{q/g}(z) g\left(\frac{x}{z}, Q^2\right) \times 2 \right]$$

$$+ g(x, Q^2) \frac{d}{d \ln Q^2} \ln \Delta_g(Q^2)$$

となることを確認し、再び。

$$(813a) \quad \frac{d}{d \ln Q^2} \left(\frac{q(x, Q^2)}{\Delta_q(Q^2)} \right) = \frac{1}{\Delta_q(Q^2)} \int_x^{1-\epsilon} \frac{dz}{z} \frac{ds}{2\pi} \left[\hat{P}_{g/g}(z) q\left(\frac{x}{z}, Q^2\right) + \hat{P}_{g/g}(z) g\left(\frac{x}{z}, Q^2\right) \right]$$

$$(813b) \quad \frac{d}{d \ln Q^2} \left(\frac{g(x, Q^2)}{\Delta_g(Q^2)} \right) = \frac{1}{\Delta_g(Q^2)} \int_x^{1-\epsilon} \frac{dz}{z} \frac{ds}{2\pi} \left[\hat{P}_{g/g}(z) [q\left(\frac{x}{z}, Q^2\right) + \bar{q}\left(\frac{x}{z}, Q^2\right)] + 2 \hat{P}_{g/g}(z) g\left(\frac{x}{z}, Q^2\right) \right]$$

が得られます。上の表式は、あるかじめ $z=0, 1$ の対称性を正則化してスタディ因子 $\Delta_q(Q^2), \Delta_g(Q^2)$ を計算しておけば、同じ正則化を用いた bare t_s 分岐関数 $\hat{P}_{a/b}(z)$ を用いて、 $\ln Q^2$ 依存性を計算できることを意味します。更に、積分形になると、

$$(814a) \quad q(x, Q^2) = \Delta_q(Q^2) q(x, Q_0^2) + \int_{Q_0^2}^{Q^2} \frac{dQ'^2}{Q'^2} \frac{\Delta_q(Q^2)}{\Delta_q(Q'^2)} \int_x^{1-\epsilon} \frac{dz}{z} \frac{ds}{2\pi} \left[\hat{P}_{q/g}(z) q\left(\frac{x}{z}, Q'^2\right) + \hat{P}_{g/g}(z) g\left(\frac{x}{z}, Q'^2\right) \right]$$

$$(814b) \quad g(x, Q^2) = \Delta_g(Q^2) g(x, Q_0^2) + \int_{Q_0^2}^{Q^2} \frac{dQ'^2}{Q'^2} \frac{\Delta_g(Q^2)}{\Delta_g(Q'^2)} \int_x^{1-\epsilon} \frac{dz}{z} \frac{ds}{2\pi} \left[\hat{P}_{g/g}(z) (q\left(\frac{x}{z}, Q'^2\right) + \bar{q}\left(\frac{x}{z}, Q'^2\right)) + 2 \hat{P}_{g/g}(z) g\left(\frac{x}{z}, Q'^2\right) \right]$$

MC法によて解くことができます。 $(840a), (840b)$ をじとなくめて、パートンツリーがで生きるのか分かりますか？ //